

# Résolution numérique de problème elliptique avec diverses conditions aux limites

Qingqing Hu

15 octobre 2020

## Table des matières

<b>1</b>	<b>Conditions de type Neumann</b>	<b>3</b>
1.1	Description du problème . . . . .	3
1.2	Formulation variationnelle du problème . . . . .	3
1.3	Discrétisation et maillage . . . . .	4
1.4	Calcul des Matrices élémentaires, cas constant . . . . .	5
1.4.1	Validation et estimation de l'erreur . . . . .	6
1.5	Calcul des Matrices élémentaires, cas variable . . . . .	7
1.5.1	Validation et estimation de l'erreur . . . . .	8
<b>2</b>	<b>Conditions de type Dirichlet</b>	<b>9</b>
2.1	Formulation variationnelle du problème . . . . .	9
2.2	Discrétisation . . . . .	9
2.3	Validation et estimation de l'erreur . . . . .	10
<b>3</b>	<b>Condition périodique</b>	<b>10</b>
3.1	Formulation variationnelle du problème . . . . .	11
3.2	Discrétisation . . . . .	11
3.3	Validation et estimation de l'erreur . . . . .	12

# 1 Conditions de type Neumann

## 1.1 Description du problème

Soit  $\Omega$  ouvert borné à frontière polygonale de  $\mathbb{R}^2$ . A un tenseur qui est uniformément borné

$$\exists C > 0, \forall (x, y) \in \Omega, \forall i, j, A_{i,j}(x, y) \leq C$$

et satisfait l'hypothèse de coercivité uniforme

$$\exists c > 0, \forall (x, y) \in \Omega, \forall \xi \in \mathbb{R}^2, A(x, y)\xi \cdot \xi \geq |\xi|^2$$

et  $f \in L^2(\Omega)$ . On s'intéresse à la solution numérique du problème de Poisson avec condition aux limites de Neumann :

Trouver  $u \in H^1(\Omega)$  telle que :

$$\begin{cases} u - \nabla \cdot (A(x, y)\nabla u) = f & \text{dans } \Omega \\ A(x, y)\nabla u \cdot n = 0 & \text{sur } \partial\Omega \end{cases} \quad (1)$$

## 1.2 Formulation variationnelle du problème

Trouver  $u \in H^1(\Omega)$ , pour toutes les fonctions  $v \in H^1(\Omega)$ ,

$$\begin{aligned} \int_{\Omega} uv - \int_{\Omega} \nabla \cdot (A(x, y)\nabla u)v &= \int_{\Omega} f v \quad \text{dans } \Omega \\ \int_{\Omega} uv + \int_{\Omega} A(x, y)\nabla u \nabla v - \int_{\partial\Omega} (A(x, y)\nabla u \cdot n)v &= \int_{\Omega} f v \\ \int_{\Omega} uv + \int_{\Omega} A(x, y)\nabla u \nabla v &= \int_{\Omega} f v \\ a(u, v) &= \int_{\Omega} uv + \int_{\Omega} A(x, y)\nabla u \nabla v \\ l(v) &= \int_{\Omega} f v \end{aligned} \quad (2)$$

On obtient donc bien la formulation variationnelle. On vérifie maintenant les hypothèses du théorème de Lax-Milgram pour montrer que le problème est bien posé.

- $H^1(\Omega)$  est un espace de Hilbert.
- $a$  est continue :

$$\forall u, v \in H^1(\Omega), \quad |a(u, v)| \leq \left| \int_{\Omega} uv \right| + \left| \int_{\Omega} A(x, y)\nabla u \nabla v \right|$$

$$\stackrel{CS}{\leq} \|u\|_{L^2(\Omega)} \|v\|_{L^2(\Omega)} + C \|\nabla u\|_{L^2(\Omega)} \|\nabla v\|_{L^2(\Omega)}$$

$$\leq \max(1, C) \|u\|_{H^1(\Omega)} \|v\|_{H^1(\Omega)}$$

- $a$  est coercive :

$$\begin{aligned} \forall u \in H^1(\Omega), \quad |a(u, u)| &= \left| \int_{\Omega} uu \right| + \left| \int_{\Omega} A(x, y)\nabla u \nabla u \right| \\ &\geq \left| \int_{\Omega} uu \right| + c \left| \int_{\Omega} \nabla u \nabla u \right| \\ &\geq \min(1, c) \|u\|_{H^1(\Omega)}^2 \end{aligned}$$

- $l$  est linéaire par linéarité de l'intégrale, et  $l$  est continue.

$$\begin{aligned} \forall v \in H^1(\Omega), \quad |l(v)| &= \left| \int_{\Omega} f v \right| \\ &\stackrel{CS}{\leq} \|f\|_{L^2(\Omega)} \|v\|_{L^2(\Omega)} \\ &\leq \|f\|_{L^2(\Omega)} \|v\|_{H^1(\Omega)} \end{aligned}$$

Le problème est bien posé et qu'il admet une unique solution.

### 1.3 Discrétisation et maillage

Soit  $T_h$  une triangulation du domaine  $\Omega$ , et  $V_h$  l'approximation de  $H^1(\Omega)$  par des éléments finis  $P^1$  associés à la triangulation  $T_h$ . On note  $(T_l)_{l=1,L}$  les triangles de  $T_h$ ,  $(S_l)_{l=1,N}$  les sommets des triangles et  $(\omega_l)_{l=1,N}$  la base de  $V_h$  définie par  $\omega_l(S_j) = \delta_{l,j}$ ,  $1 \leq l, j \leq N$ .

La formulation variationnelle discrète est :

Trouver  $u_h \in V_h$  telle que pour tout  $v_h$  dans  $V_h$  :

$$a(u_h, v_h) = l(v_h) \quad (3)$$

La solution approchée s'écrit sous la forme :

$$u_h(x, y) = \sum_{l=1}^N u_h(S_l) \omega_l(x, y), \quad \forall (x, y) \in \overline{\Omega}$$

Soit  $(\omega_l)_{l=1,N}$  la base de  $V_h$  définie par  $\omega_l(S_j) = \delta_{l,j}$  donc, en décomposant  $u_h$  dans cette base  $u_h = \sum_{j=1}^N u_j \omega_j$ .

$$\begin{aligned} a(u_h, v_h) &= l(v_h) \\ \Leftrightarrow a(u_h, \omega_i) &= l(\omega_i) \\ \Leftrightarrow a(u_h, \omega_i) &= \sum_{j=1}^N u_j a(\omega_j, \omega_i) = l(\omega_i) \\ \sum_{j=1}^N \left( \int_{\Omega} \omega_j \omega_i d\Omega + \int_{\Omega} A(x, y) \nabla \omega_j \nabla \omega_i d\Omega \right) u_j &= \int_{\Omega} f \omega_i d\Omega \\ (\mathbb{M} + \mathbb{K}) \vec{U} &= \vec{L} \end{aligned}$$

On obtient :

$$\left\{ \begin{array}{l} \vec{L}_i = l(\omega_i) = \int_{\Omega} f \omega_i d\Omega \\ \vec{U}_i = u_i \\ \mathbb{K}_{ij} = \int_{\Omega} A(x, y) \nabla \omega_j \nabla \omega_i d\Omega \\ \mathbb{M}_{ij} = \int_{\Omega} \omega_j \omega_i d\Omega \end{array} \right. \quad (4)$$

La formulation variationnelle discrète sous la forme d'un système linéaire équivalent :

$$(\mathbb{M} + \mathbb{K}) \vec{U} = \vec{L}$$

où la  $I^{ème}$  composante du vecteur  $\vec{U} \in R^N$  vaut  $u_h(S_I)$ , avec  $\mathbb{M}$  est la matrice de masse et  $\mathbb{K}$  est la matrice de rigidité. Les matrices  $\mathbb{M}$  et  $\mathbb{K}$  sont symétriques et définies positives. On veut résoudre le problème dans un ouvert  $\Omega$  qui est un carré.

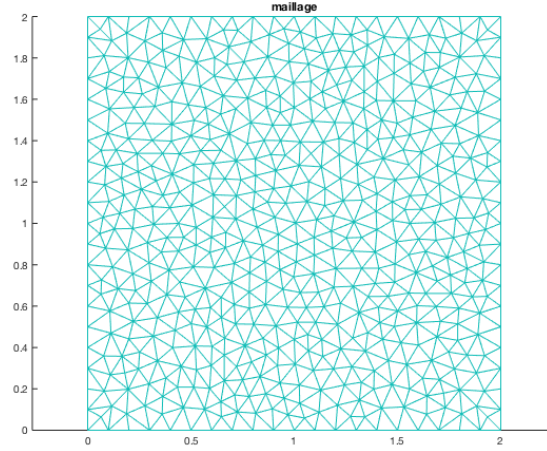


FIGURE 1 – Maillage

#### 1.4 Calcul des Matrices élémentaires, cas constant

On considère pour l'instant le cas où  $A = 1$ . Comme les fonctions de base locales  $\omega_i \in \mathbb{P}^1$ , on a donc  $\omega_i \omega_j \in \mathbb{P}^2$ ,  $\nabla \omega_i \nabla \omega_j \in \mathbb{P}^0$ . On peut utiliser les formules de quadrature suivantes :

$$\int_{T_l} F d\Omega = \text{aire}(T_l) \left( F\left(\frac{S_1 + S_2 + S_3}{3}\right) \right), F \in \mathbb{P}^0$$

$$\int_{T_l} F d\Omega = \frac{\text{aire}(T_l)}{3} \left( F\left(\frac{S_1 + S_2}{2}\right) + F\left(\frac{S_2 + S_3}{2}\right) + F\left(\frac{S_3 + S_1}{2}\right) \right), F \in \mathbb{P}^2$$

$$\text{Si } i = j, \mathbb{M}^{ele}_{ij} = \int_{T_l} \omega_i \omega_i = \frac{\text{aire}(T_l)}{3} \left( F\left(\frac{S_1 + S_2}{2}\right) + F\left(\frac{S_2 + S_3}{2}\right) + F\left(\frac{S_3 + S_1}{2}\right) \right) = \frac{\text{aire}(T_l)}{3} \left( \frac{1}{4} + \frac{1}{4} + 0 \right) = \frac{\text{aire}(T_l)}{6} = \frac{D}{12}.$$

$$\text{Si } i \neq j, \mathbb{M}^{ele}_{ij} = \frac{\text{aire}(T_l)}{3} \left( \frac{1}{4} + 0 + 0 \right) = \frac{\text{aire}(T_l)}{12} = \frac{D}{24}.$$

On définit une matrice norm :

$$\text{norm} = \begin{pmatrix} y_{23} & x_{32} \\ y_{31} & x_{13} \\ y_{12} & x_{21} \end{pmatrix}$$

$$\text{Alors, } K_{ij}^{ele} = \text{aire}(T_l) \left( F\left(\frac{S_1 + S_2 + S_3}{3}\right) \right) = \frac{1}{D^2} \frac{D}{2} \text{norm}(i,:) * \text{norm}(j,:)^T = \frac{1}{2D} \text{norm}(i,:) * \text{norm}(j,:)^T$$

Le code pour assembler les matrices  $\mathbb{K}, \mathbb{M}$  est le suivant :

```
for l=1:Nbtri
    S1=Coorneu(Numtri(l,1),:);
    S2=Coorneu(Numtri(l,2),:);
    S3=Coorneu(Numtri(l,3),:);
    Kel=matK_elem(S1, S2, S3);
    Mel=matM_elem(S1, S2, S3);
    for i = 1:3
        for j = 1:3
            MM(Numtri(l,i),Numtri(l,j)) = MM(Numtri(l,i),Numtri(l,j)) + Mel(i,j);
            KK(Numtri(l,i),Numtri(l,j)) = KK(Numtri(l,i),Numtri(l,j)) + Kel(i,j);
        end % for j
    end % for i
end % for l
```

En utilisant la méthode d'interpolation, si  $f \in C^0(\Omega)$ , on l'approche par son interpolée :

$$\pi_h f = \sum_{j=1}^n f(S_j) \omega_j$$

donc,

$$\mathbb{L}_i \approx \int_{\Omega} \pi_h f \omega_i d\Omega = \sum_{j=1}^n f(S_j) \int_{\Omega} \omega_i \omega_j d\Omega = (MF)_i \quad \text{où} \quad F_i = f(S_i)$$

#### 1.4.1 Validation et estimation de l'erreur

On va vérifier que le code calcule une solution approchée  $u_h$  correcte. Pour  $(x, y) \in \bar{\Omega}$ , on choisit :

$$u(x, y) = \cos(\pi x) \cos(2\pi y)$$

Avec  $A = 1$ , la donnée  $f$  correspondante :

$$\begin{aligned} u - \operatorname{div}(\nabla u) &= f \quad \text{dans } \Omega \\ \operatorname{div}(\nabla u) &= \Delta u = -5\pi^2 u \\ f &= (1 + 5\pi^2)u \end{aligned}$$

L'erreur de la norme  $L^2(\Omega)$  entre la solution exacte et la solution approchée :

On assimile  $u$  à son interpolée  $\pi_h u$

$$\begin{aligned} \text{eur } L2 &= \|u - u_h\|_{L^2(\Omega)} \approx \|\pi_h u - u_h\|_{L^2(\Omega)} \\ &= \left\| \sum_{j=1}^n u(S_j) \omega_j - \sum_{j=1}^n u_h(S_j) \omega_j \right\|_{L^2(\Omega)} \\ &= \sqrt{\int_{\Omega} \left[ \sum_{i=1}^n (u(S_i) - u_h(S_i)) \omega_i \right] \left[ \sum_{j=1}^n (u(S_j) - u_h(S_j)) \omega_j \right] d\Omega} \\ &= \sqrt{(U - U^{ex})' \mathbb{M} (U - U^{ex})} \end{aligned} \tag{5}$$

et où

$$U_i = u_h(S_i) \quad U_i^{ex} = u(S_i)$$

Maintenant, on peut estimer l'erreur de  $L_2(\Omega)$  en modifiant  $h$ . Ici on trace  $\log(1/h)$  et  $\log(\|u - u_h\|_{L^2(\Omega)} / \|u\|_{L^2(\Omega)})$ . Car  $\|u\|_{L^2(\Omega)} = 1$ , on peut tracer  $\log(1/h)$  et  $\log(\|u - u_h\|_{L^2(\Omega)})$ . Pour l'erreur de la semi-norme  $H_1(\Omega)$  entre la solution exacte et la solution approchée, car  $\|\nabla u\|_{L^2(\Omega)} = \sqrt{5}\pi$ , on peut tracer  $\log(1/h)$  et  $\log(\|\nabla u - \nabla u_h\|_{L^2(\Omega)} / \sqrt{5}\pi)$ . De la même façon qu'on utilise pour estimer l'erreur de  $L_2(\Omega)$ ,

$$\text{eur } H1 = \|u - u_h\|_{H_1} = \sqrt{(U - U^{ex})' \mathbb{K} (U - U^{ex})}$$

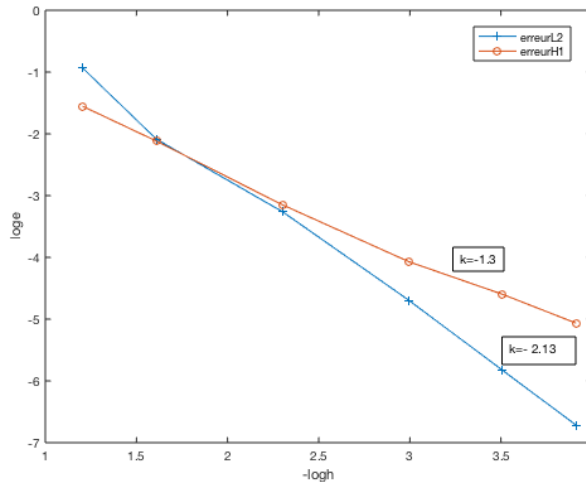


FIGURE 2 –  $\log e - \log(1/h)$

D'après le lemme Aubin-Nitsche et le lemme Céa, on a la relation entre l'erreur de  $L_2(\Omega)$  et  $h$  :

$$\|u - u_h\|_{L^2(\Omega)} \propto h^2$$

L'erreur de  $H_1(\Omega)$ , on a :

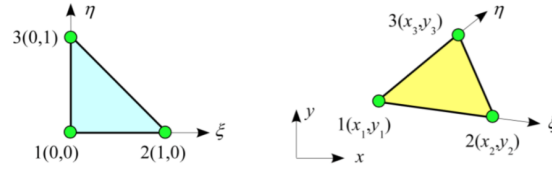
$$\|\nabla u - \nabla u_h\|_{L^2(\Omega)} \propto h$$

Les résultats numérique est  $\|u - u_h\|_{L^2(\Omega)} \propto h^{2.13}$ ,  $\|\nabla u - \nabla u_h\|_{L^2(\Omega)} \propto h^{1.3}$  correspondant aux lemmes.

## 1.5 Calcul des Matrices élémentaires, cas variable

On considère maintenant le cas général  $A = A(x, y)$ .

On se place sur un triangle  $T_l$ . Pour calculer les matrices élémentaires associées à ce triangle, nous allons utiliser une méthode de calcul, plus générale que les coordonnées barycentriques. Pour calculer les intégrales volumiques sur le triangle  $T_l$  (composé des points  $M_1, M_2$  et  $M_3$ ), on se ramène tout d'abord au triangle de référence  $\hat{T}$  (composé des points  $\hat{M}_1 = (0, 0)$ ,  $\hat{M}_2 = (1, 0)$  et  $\hat{M}_3 = (0, 1)$ ).



La transformation géométrique qui permet de passer de l'élément de référence (à gauche) à l'élément réel (à droite) est de la forme :

La transformation  $F_l : \mathbb{R}^2 \rightarrow \mathbb{R}^2$

$$\forall \hat{M} \in \mathbb{R}^2, \quad F_l(\hat{M}) = B_l \hat{M} + S_l, \quad B_l \in M_2(\mathbb{R}^2), \quad S_l \in \mathbb{R}^2$$

Où

$$dF_l(\hat{M}) = B_l = \begin{pmatrix} x_2 - x_1 & x_3 - x_1 \\ y_2 - y_1 & y_3 - y_1 \end{pmatrix}$$

$$S_l = \begin{pmatrix} x_1 \\ y_1 \end{pmatrix}$$

La matrice élémentaire de rigidité associée au triangle  $T_l$  :

$$\int_{T_l} A(M) \nabla \omega_i(M) \bullet \nabla \omega_j(M) d\Omega = \int_{\hat{T}} A(F_l(\hat{M})) [(B_l^T)^{-1} \nabla \hat{\omega}_i(\hat{M})] [(B_l^T)^{-1} \nabla \hat{\omega}_j(\hat{M})] |det B_l| d\hat{\Omega}$$

Où

$$(B_l^T)^{-1} = \frac{1}{D} \begin{pmatrix} y_3 - y_1 & y_1 - y_2 \\ x_1 - x_3 & x_2 - x_1 \end{pmatrix}$$

Quand les coefficients sont variables, il n'est pas toujours possible de calculer ces intégrales exactement. On approche alors ces intégrales à l'aide de formules de quadratures dites à  $N$  points : pour  $G$  une fonction continue par morceaux de  $T_l$  :

$$\int_{T_l} F d\Omega \approx \sum_{q=1}^N \omega_l^q F(M_l^q)$$

On utilisera ici la formule de quadrature à 4 points de Gauss Lobatto qui est d'ordre 3 et qui est définie sur le triangle de référence  $\hat{T}$  par

$$\begin{array}{c|c|c|c|c} \hat{M}^q & (1/3, 1/3) & (1/5, 1/5) & (1/5, 3/5) & (3/5, 1/5) \\ \hline \hat{\omega}^q & -9/32 & 25/96 & 25/96 & 25/96 \end{array}$$

On obtiendra la matrice élémentaire de rigidité associée au triangle  $T_l$  :

```

Bl = [x2-x1 x3-x1; y2-y1 y3-y1];
Sl = [x1 ; y1];
D = ((x2-x1)*(y3-y1) - (y2-y1)*(x3-x1));
BL = 1/abs(D)*[y3-y1 y1-y2; x1-x3 x2-x1];
norm = [-1 -1; 1 0; 0 1];
M = zeros(4,2);
M(1,:) = Bl*[1/3;1/3]+Sl;
M(2,:) = Bl*[1/5;1/5]+Sl;
M(3,:) = Bl*[1/5;3/5]+Sl;
M(4,:) = Bl*[3/5;1/5]+Sl;
W = [-9/32,25/96,25/96,25/96];
Kel = zeros(3,3);
for i=1:3
    for j=1:3
        for k =1:4
            Kel(i,j) = Kel(i,j)+W(k)*(A(M(k,:))*(BL*norm(i,:))')*(BL*norm(j,:))'*abs(D);
        end %k
    end % j
end % i

```

### 1.5.1 Validation et estimation de l'erreur

On va vérifier que le code calcule une solution approchée  $u_h$  correcte. Pour  $(x, y) \in \bar{\Omega}$ , on choisit :

$$u(x, y) = \cos(2\pi x)$$

Avec  $A(x, y) = \sin(2\pi x)\sin(2\pi y) + 2$ , seulement diagonale, la donnée  $f$  correspondante :  
D'après équation(1),

$$\begin{aligned}
 u - \operatorname{div}(A(x, y)\nabla u) &= f \quad \text{dans } \Omega \\
 \operatorname{div}(A(x, y)\nabla u) &= -4\pi^2 \sin 4\pi x \sin 2\pi y - 8\pi^2 \cos 2\pi x \\
 f &= 4\pi^2 \sin 4\pi x \sin 2\pi y + (1 + 8\pi^2) \cos 2\pi x
 \end{aligned}$$

L'erreur de la norme  $L^2(\Omega)$  et l'erreur de la semi-norme  $H_1(\Omega)$  entre la solution exacte et la solution approchée ( dans ce cas  $\|u\|_{L^2(\Omega)} = \sqrt{2}$  et  $\|\nabla u\|_{L^2(\Omega)} = 4\pi$  ) :

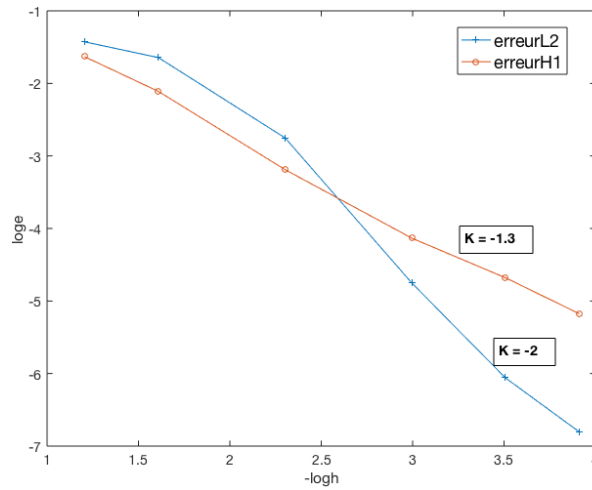


FIGURE 3 –  $\log e - \log(1/h)$



Les résultats numérique est  $\|u - u_h\|_{L^2(\Omega)} \propto h^2$ ,  $\|\nabla u - \nabla u_h\|_{L^2(\Omega)} \propto h^{1.3}$  correspondant au Aubin-Nitsche et au lemme Céa.

Pour étudier son comportement en modifiant la période de la tenseur A, on choisit un terme source quelconque. L'évolution est le suivant :

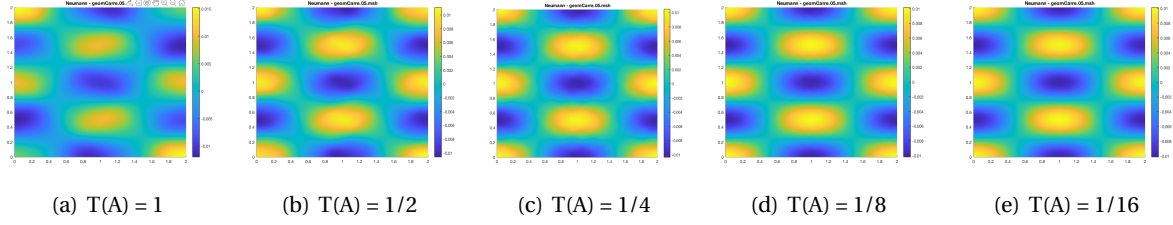


FIGURE 4 – L'évolution de la solution en modifiant la période de la tenseur A

On observe que son comportement macroscopique ne change pas lors de la diminution de la période de la tenseur A diminue à condition que la période de la tenseur A est suffisamment petite.

## 2 Conditions de type Dirichlet

On s'intéresse à la solution numérique du problème de Poisson avec condition aux limites de Dirichlet :

Trouver  $u \in H^1(\Omega)$  telle que :

$$\begin{cases} u - \nabla \cdot (A(x, y) \nabla u) = f & \text{dans } \Omega \\ u = 0 & \text{sur } \partial\Omega \end{cases} \quad (6)$$

### 2.1 Formulation variationnelle du problème

Trouver  $u \in H_0^1(\Omega)$ , pour toutes les fonctions  $v \in H_0^1(\Omega)$ ,

$$\begin{aligned} \int_{\Omega} uv - \int_{\Omega} \nabla \cdot (A(x, y) \nabla u) v &= \int_{\Omega} f v \quad \text{dans } \Omega \\ \int_{\Omega} uv + \int_{\Omega} A(x, y) \nabla u \nabla v - \int_{\partial\Omega} (A(x, y) \nabla u \cdot n) v &= \int_{\Omega} f v \\ \int_{\Omega} uv + \int_{\Omega} A(x, y) \nabla u \nabla v &= \int_{\Omega} f v \end{aligned} \quad (7)$$

On obtient donc bien la formulation variationnelle. On peut vérifier les hypothèses du théorème de Lax-Milgram pour montrer que le problème est bien posé de la même façon précédente.

### 2.2 Discrétisation

La solution approchée s'écrit sous la forme :

$$u_h(x, y) = \sum_{I=1, \text{Refneu}(S_I)=0}^{N_0} u_h(S_I) \omega_I(x, y), \quad \forall (x, y) \in \overline{\Omega}$$

La formulation variationnelle discrète sous la forme d'un système linéaire équivalent :

$$(\mathbb{M}^0 + \mathbb{K}^0) \vec{U}^0 = \vec{L}^0 \quad (8)$$

où la  $I^{\text{ème}}$  composante du vecteur  $\vec{U} \in R^{N_0}$  vaut  $u_h(S_I)$ , avec  $\mathbb{M}$  est la matrice de masse et  $\mathbb{K}$  est la matrice de rigidité, de taille  $N_0 \times N_0$ .

Dans la pratique, on ne peut pas assembler directement la matrice intervenant dans (8). On introduit une matrice (creuse/sparse) de projection  $\mathbb{P}$  de  $V_h$  dans  $V_h^0$ , de taille  $N_0 \times N$  (qui ne contient que des 1 et des 0). On a donc :

$$\mathbb{A}^0 = \mathbb{P} \mathbb{A} \mathbb{P}^t, \quad \vec{L}^0 = \mathbb{P} \vec{L}, \quad \text{et} \quad \vec{U} = \mathbb{P}^t \vec{U}^0$$

Le code de la construction de la matrice  $\mathbb{P}$  :

```
[J]=find(Refneu == 0);
PP = sparse(length(J),Nbpt);
for i = 1:length(J)
    PP(i,J(i)) = 1;
end
```

### 2.3 Validation et estimation de l'erreur

On va vérifier que le code calcule une solution approchée  $u_h$  correcte. Pour  $(x, y) \in \overline{\Omega}$ , on choisit :

$$u(x, y) = \sin(\pi x) \sin(\pi y)$$

Avec  $A = 1$ , la donnée  $f$  correspondante :  $f = (1 + 2\pi^2)u$

L'erreur de la norme  $L^2(\Omega)$  et l'erreur de la semi-norme  $H_1(\Omega)$  entre la solution exacte et la solution approchée ( dans ce cas  $\|u\|_{L^2(\Omega)} = 1$  et  $\|\nabla u\|_{L^2(\Omega)} = \sqrt{2\pi}$  ) :

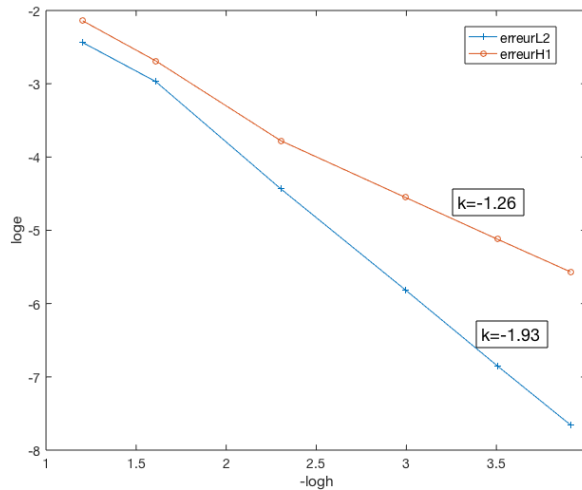


FIGURE 5 –  $\log e - \log(1/h)$

Les résultats numérique est  $\|u - u_h\|_{L^2(\Omega)} \propto h^{1.93}$ ,  $\|\nabla u - \nabla u_h\|_{L^2(\Omega)} \propto h^{1.26}$  correspondant au Aubin-Nitsche et au lemme Céa.

### 3 Condition périodique

Soit  $\Omega = [0, L^2]$ , on s'intéresse à la solution numérique du problème de Poisson avec condition aux limites périodique

Trouver  $u \in H^1(\Omega)$  telle que :

$$\begin{cases} u - \nabla \cdot (A(x, y) \nabla u) = f & \text{dans } \Omega \\ u|_{x=0} = u|_{x=L} \quad \text{et} \quad u|_{y=0} = u|_{y=L} \\ A(x, y) \nabla u \cdot e_x|_{x=0} = A(x, y) \nabla u \cdot e_x|_{x=L} \quad \text{et} \quad A(x, y) \nabla u \cdot e_y|_{y=0} = A(x, y) \nabla u \cdot e_y|_{y=L} \end{cases} \quad (9)$$

### 3.1 Formulation variationnelle du problème

Trouver  $u \in H_{\#}^1(\Omega)$ , pour toutes les fonctions  $v \in H_{\#}^1(\Omega)$  ( $H_{\#}^1(\Omega) \subset H^1(\Omega)$ ),

$$\begin{aligned} \int_{\Omega} uv - \int_{\Omega} \nabla \cdot (A(x, y) \nabla u) v &= \int_{\Omega} f v \quad \text{dans } \Omega \\ \int_{\Omega} uv + \int_{\Omega} A(x, y) \nabla u \nabla v - \int_{\partial\Omega} (A(x, y) \nabla u \cdot n) v &= \int_{\Omega} f v \\ \int_{\Omega} uv + \int_{\Omega} A(x, y) \nabla u \nabla v &= \int_{\Omega} f v \end{aligned} \quad (10)$$

On obtient donc bien la formulation variationnelle. On peut vérifier les hypothèses du théorème de Lax-Milgram pour montrer que le problème est bien posé de la même façon précédente.

### 3.2 Discrétisation

La solution approchée s'écrit sous la forme :

$$u_h(x, y) = \sum_{I=1}^{N_{\#}} u_h(S_I) \omega_I(x, y), \quad \forall (x, y) \in \bar{\Omega}$$

La formulation variationnelle discrète sous la forme d'un système linéaire équivalent :

$$(\mathbb{M}^{\#} + \mathbb{K}^{\#}) \vec{U}^{\#} = \vec{L}^{\#} \quad (11)$$

où la  $I^{ème}$  composante du vecteur  $\vec{U} \in R^{N_{\#}}$  vaut  $u_h(S_I)$ , avec  $\mathbb{M}^{\#}$  est la matrice de masse et  $\mathbb{K}^{\#}$  est la matrice de rigidité, de taille  $N_{\#} \times N_{\#}$ .

Dans la pratique, on ne peut pas assembler directement la matrice intervenant dans (11). On introduit une matrice (creuse/sparse) de projection  $\mathbb{Q}$  de  $V_h$  dans  $V_h^{\#}$ , de taille  $N_{\#} \times N$  (qui ne contient que des 1 et des 0). On a donc :

$$\mathbb{A}^{\#} = \mathbb{Q} \mathbb{A} \mathbb{Q}^t, \quad \vec{L}^{\#} = \mathbb{Q} \vec{L}, \quad \text{et} \quad \vec{U} = \mathbb{Q}^t \vec{U}^{\#}$$

Le code de la construction de la matrice  $\mathbb{Q}$  :

```
[J]=find(Refneu == 0);
[K]=find(Refneu == 5);%%% Trouver les quatre coins du carré
[Z]=find(Refneu == 1);%%% Trouver les points du bord en bas
[Z1]=find(Refneu == 3);%%% Trouver les points du bord en haut
[Z2]=find(Refneu == 2);%%% Trouver les points du bord à gauche
[Z3]=find(Refneu == 4);%%% Trouver les points du bord à droite
PP = sparse(N_#,Nbpt);
for i = 1:length(K)
    PP(1,K(i))= 1;
end
for i= 2:N_#-length(J)
    if i<=length(Z)+1
        trouver deux points Z(j), Z1(k) qui ont la même abscisse
        PP(i,Z(j))= 1;PP(i,Z1(k))= 1;
    else
        trouver deux points Z2(j), Z3(k) qui ont la même ordonnée
        PP(i,Z2(j))= 1;PP(i,Z3(k))= 1;
    end
end
for i = N_#-length(J)+1: N_#
    PP(i,J(i-n+1)) = 1;
end
```

### 3.3 Validation et estimation de l'erreur

On va vérifier que le code calcule une solution approchée  $u_h$  correcte. Pour  $(x, y) \in \overline{\Omega}$ , on choisit :

$$u(x, y) = \sin(\pi x) \sin(\pi y)$$

Avec  $A = 1$ , la donnée  $f$  correspondante :  $f = (1 + 2\pi^2)u$

L'erreur de la norme  $L^2(\Omega)$  et l'erreur de la semi-norme  $H_1(\Omega)$  entre la solution exacte et la solution approchée ( dans ce cas  $\|u\|_{L^2(\Omega)} = 1$  et  $\|\nabla u\|_{L^2(\Omega)} = \sqrt{2}\pi$  ) :

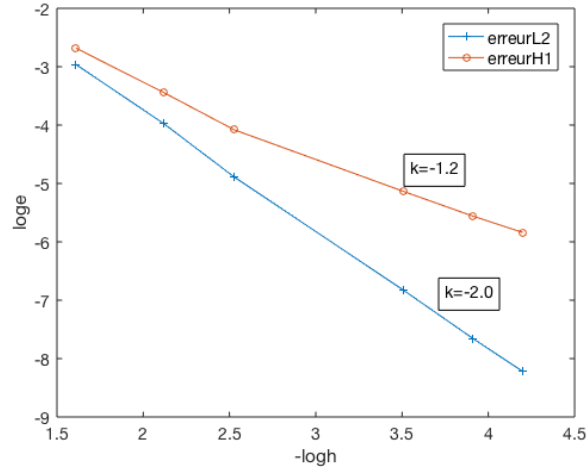


FIGURE 6 –  $\log e - \log(1/h)$

Les résultats numérique est  $\|u - u_h\|_{L^2(\Omega)} \propto h^2$ ,  $\|\nabla u - \nabla u_h\|_{L^2(\Omega)} \propto h^{1.2}$  correspondant au Aubin-Nitsche et au lemme C  a.